

*A. Orfei, M. Morsiani, G. Zacchiroli, G. Maccaferri*

*Agosto 1997*

***PRESTAZIONI DELLA NUOVA MECCANICA SUBRIFLETTORE:  
SENSIBILITA` , RIPETIBILITA` E STABILITA` DI PUNTAMENTO***

***IRA-CNR 236/97***

*File WinWord6, C:\word2win\subrif96\puntsub.doc*

## *INDICE*

<i>1. INTRODUZIONE.....</i>	<i>3</i>
<i>2. TRASLAZIONI DEL RICEVITORE DI FUOCO PRIMARIO.....</i>	<i>4</i>
<i>2.1 TRASLAZIONE LUNGO L'ASSE Y.....</i>	<i>4</i>
<i>2.2 TRASLAZIONE LUNGO L'ASSE Z.....</i>	<i>5</i>
<i>3. MOVIMENTI DELLO SPECCHIO SECONDARIO.....</i>	<i>11</i>
<i>3.1 TRASLAZIONE LUNGO L'ASSE Y.....</i>	<i>11</i>
<i>3.2 TRASLAZIONE LUNGO L'ASSE X.....</i>	<i>12</i>
<i>3.3 ROTAZIONE ATTORNO ALL'ASSE Y.....</i>	<i>13</i>
<i>3.4 ROTAZIONE ATTORNO ALL'ASSE X.....</i>	<i>15</i>
<i>4. SENSIBILITÀ ALL'ERRORE DI PUNTAMENTO E PRECISIONE DELLA MECCANICA.....</i>	<i>17</i>
<i>5. USO DELLE ROTAZIONI SEMPLICI PER IL PROGETTO NUOVA VERTEX ROOM.....</i>	<i>18</i>
<i>6. RIFERIMENTI.....</i>	<i>27</i>

## 1. INTRODUZIONE

In questo rapporto interno si riportano misure effettuate tra luglio e agosto 1997 sulla antenna VLBI di Medicina. Esse riguardano gli effetti di sensibilità al puntamento nei confronti di fluttuazioni della posizione dei sette assi della nuova meccanica subriflettore, montata nel novembre dell'anno passato.

Sia per il movimento del ricevitore primario, due assi, sia per lo specchio secondario, cinque assi, si valuteranno i "coefficienti di sensibilità" e, sfruttando le formule teoriche che la letteratura fornisce per questi parametri, si potranno determinare i "Beam Deviation Factor" per ogni movimento. Potendo quindi evincere il rapporto tra rotazione del subriflettore e deviazione del puntamento antenna sarà possibile determinare come, quanto e quali assi muovere per effettuare la rotazione: questa conclusione ci darà indicazione di come "puntare" i feed spostati in fuoco secondario [1] e ove meglio collocarli in funzione della frequenza.

Per queste misure si è utilizzato il programma FIVPT del Field System [2]; esso trova il picco della gaussiana che identifica il lobo primario d'antenna e fornisce gli offset di puntamento relativi.

Rispetto alla posizione di allineamento del ricevitore o del subriflettore si sono spostati gli assi interessati intorno a questa posizione e si sono valutati i relativi errori di puntamento.

Il sistema di riferimento usa come origine il centro del triangolo che sostiene gli attuatori Z e come assi coordinati gli stessi assi meccanici X ed Y, vedi fig. 2. Le rotazioni di cui si parlerà quindi saranno rotazioni semplici che mantengono fissa la posizione del centro del triangolo.

Nel seguito si useranno i seguenti parametri geometrici della parabola,

$F$ =lunghezza focale=10.259 m

$f$ =distanza tra fuoco primario e fuoco Cassegrain=10.030 m

$M$ =fattore di magnificazione=9.48

$D$ =diametro specchio primario=32m

## 2. TRASLAZIONI DEL RICEVITORE DI FUOCO PRIMARIO

*Si hanno solo due assi possibili, Y, che muove in direzione Nord/Sud (o alto/basso che dir si voglia a seconda che si immagini l'antenna allo zenith o all'orizzonte) e asse Z, che muove lungo l'asse della parabola.*

*Le misure sono state effettuate usando il ricevitore 22GHz sulla sorgente ORIH2O con posizione iniziale assi Y=-151.1mm ed Z=-302mm che e` relativa all'allineamento fatto all'atto della installazione della nuova meccanica.*

*Per quanto riguarda la convenzione, se l'attuatore Y si muove verso l'alto, (verso Nord) la traslazione e` positiva. Il sistema di riferimento e` riportato in fig. 1.*

### 2.1 TRASLAZIONE LUNGO L'ASSE Y

Dati acquisiti:	posizione Y (mm)	Az (°)	El (°)	dAz (°)	dEl (°)
RIFERIMENTO---->	-151.1	176.3	40.0	0.00520	-0.00390
	-156.0	186.1	39.9	"	-0.02565
	-146.2	188.8	39.7	"	+0.01855
	-141.3	192.8	39.3	0.00428	+0.03806
	-136.4	195.4	38.9	0.00304	+0.06014
	-160.9	197.7	38.6	0.00447	-0.04826

*Da qui si puo` comporre la tabella delle variazioni di Y e di dAz e dEl calcolate rispetto al riferimento.*

Dati calcolati:	$\Delta Y$ (mm)	$\Delta dEl = \Delta P$ (°)	$\Delta P / \Delta Y$ (°/mm)	$dAz * \cos(el)$ (°)
	-4.9	-0.02175	0.0044	0.0040
	+4.9	+0.02245	0.0046	0.0040
	+9.8	+0.04196	0.0043	0.0033
	-9.8	-0.04436	0.0045	0.0024
	+14.7	+0.06404	0.0044	0.0035

*Così` come deve essere, muovere l'asse Y determina variazioni di puntamento solo in elevazione e non nella coordinata incrociata. Tutti i termini  $dAz * \cos(el)$  sono simili entro due millesimi di grado, differenza spiegabile con la dispersione del modello di puntamento. La convenzione sui segni e` la seguente*

*se  $\Delta Y > 0$  l'attuatore si sposta verso Nord*

*se  $\Delta P > 0$  l'antenna va verso Nord*

a) *La media dei coefficienti e`*

$$(0) \quad \langle \Delta P / \Delta Y \rangle = +0.0044 \pm 0.0001 \text{ °/mm}$$

ove con  $\Delta P$  si intende la deviazione d'angolo di puntamento, con la convenzione sopradetta. Si noti che se il ricevitore viene spostato verso Nord il beam punta verso Sud, per questo l'antenna, per recuperarlo, si deve spostare a Nord.

b) Da un semplice calcolo trigonometrico, data una lunghezza focale di 10259mm, ad ogni mm di spostamento laterale corrisponderebbe una deviazione d'angolo di

$$(1) \quad \text{arctg}(1/10259) = 0.0056 (\text{°}/\text{mm})$$

che pero` non tiene conto del beam deviation factor, cioe` del fatto che l'angolo di deviazione del fascio e` minore del puro angolo geometrico sotteso dallo spostamento. La formula di Ruze [3], applicata a questo tipo di spostamento, dice che

$$(2) \quad \Delta P/\Delta Y = (BDF/F) * (180/\pi) \quad \text{in } \text{°}/\text{mm}$$

Da cui si puo` ricavare che per l'antenna di Medicina

$$(3) \quad BDF = 0.788$$

Del resto l'espressione generica di BDF e`

$$(4) \quad BDF = (1 + k(D/4F)^2) / (1 + (D/4F)^2)$$

con una dipendenza da  $k$ . Questo parametro dipende dalla funzione di illuminazione, in sostanza dal taper ai bordi dello specchio, e una stima e`  $k=0.33$  per 10dB di taper, crescente fino a  $k=0.48$  per 20dB [4]. Nel nostro caso, ricevitori in fuoco primario, il taper e` vicino a 17dB cosicche` c'e` da aspettarsi un valore di  $k$ , per il 22GHz a Medicina perlomeno, vicino all'estremo superiore. Infatti calcolando  $k$  dalla (3) e (4) si trova

$$(5) \quad k_{22\text{GHz}} = 0.439$$

## 2.2 TRASLAZIONE LUNGO L'ASSE Z

Qui semplicemente si e` verificato se il valore  $z = -302\text{mm}$  iniziale e` effettivamente l'ottimo e, se cio` non fosse, quanto l'ampiezza del segnale vari spostandosi a passi di circa  $\lambda/10$ . Il risultato, vedi Fig. 3, e` che in effetti  $z=-302$  non e` il valore ottimo e a partire da questo "salti" di 1 mm sono visibili sulla carta.

Una volta posizionato il feed al valore ottimo di  $z$  ( $= -308.8$ ) alcuni salti di 1mm non sono immediatamente notabili. A scopo orientativo si ricorda che a valori sempre piu` negativi di  $Z$  corrisponde un movimento dell'attuatore verso lo specchio primario.

11/Settembre/1974

Cielo

Mecanica di movimento  
Ricevitore SX/K/L

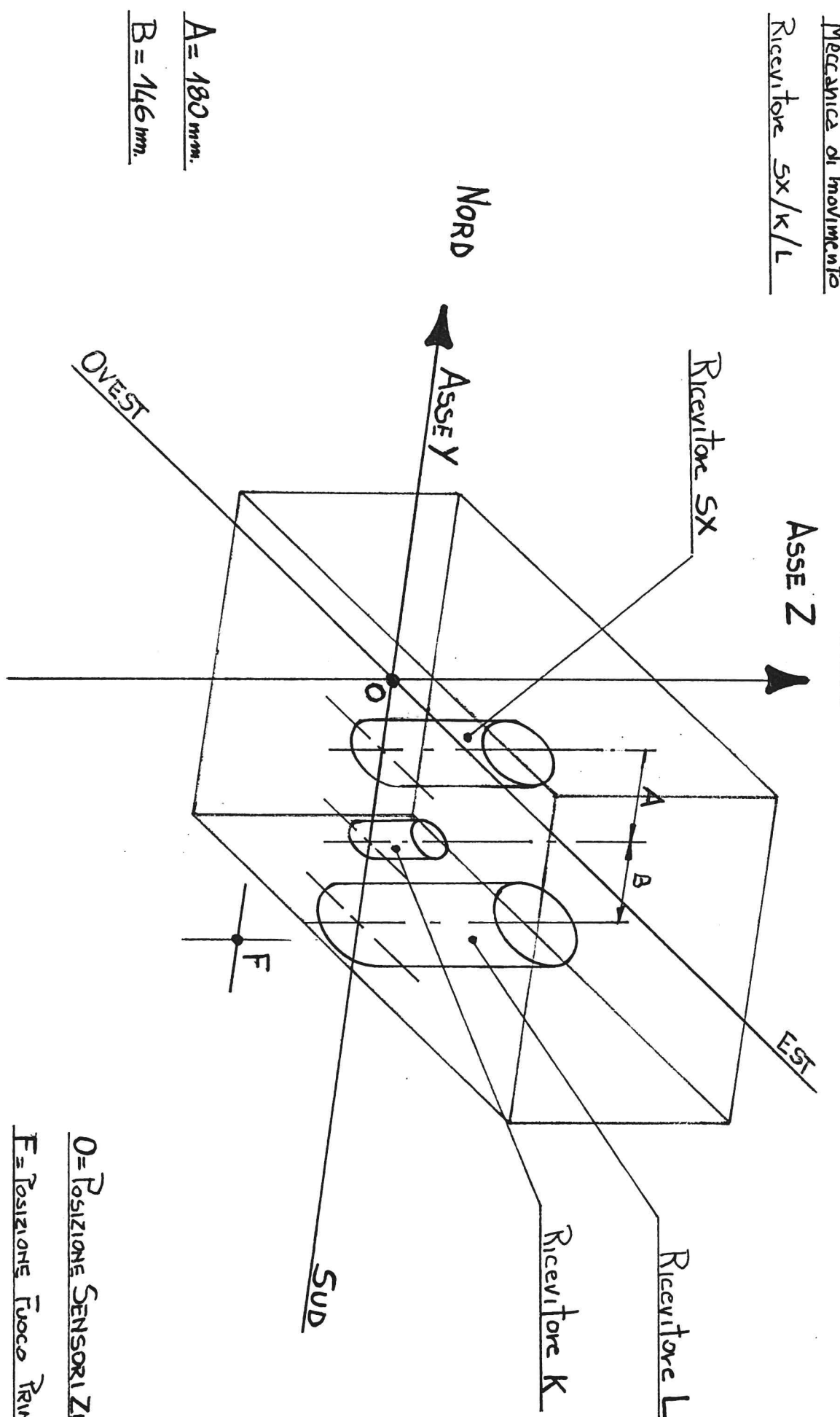
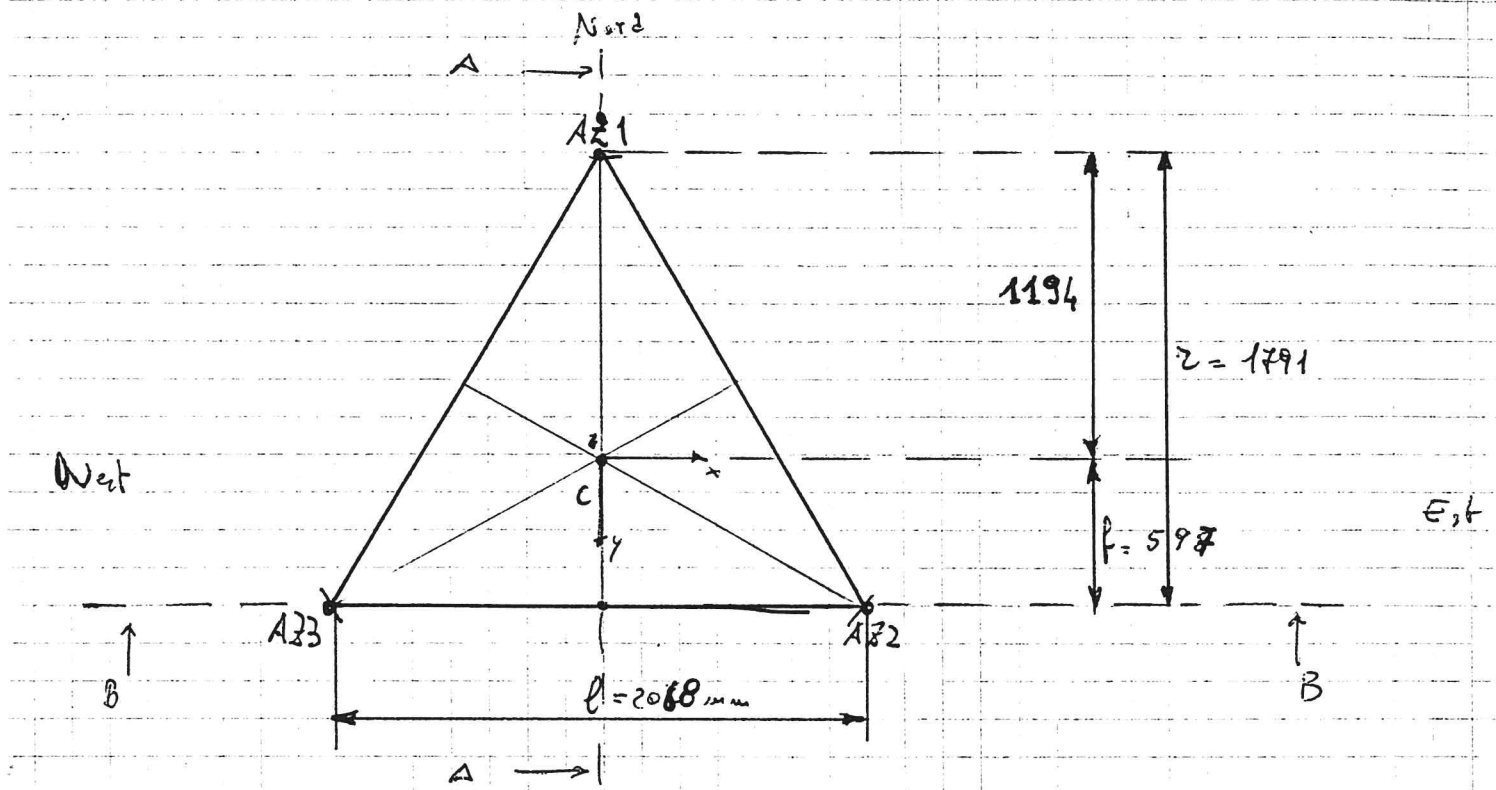


Fig. 1

Convenzione Verdi di movimento

QUOTE DEL TRIANGOLI EQUILATERO:



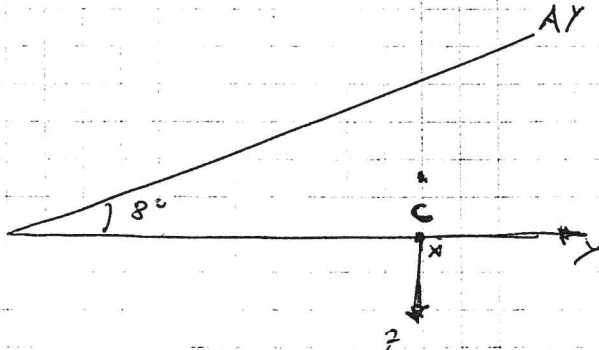
Sud

$$r = 1791 \text{ mm}$$

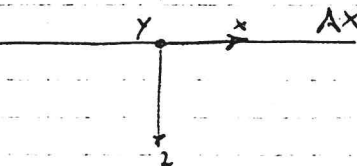
$$\ell = 2068 \text{ mm}$$

$$f = 597 \text{ mm}$$

SEZ. AA :



SEZ. BB :



Ax, Ay, A21, A22, A23 sono i 5 attuatori.

Fig. 2

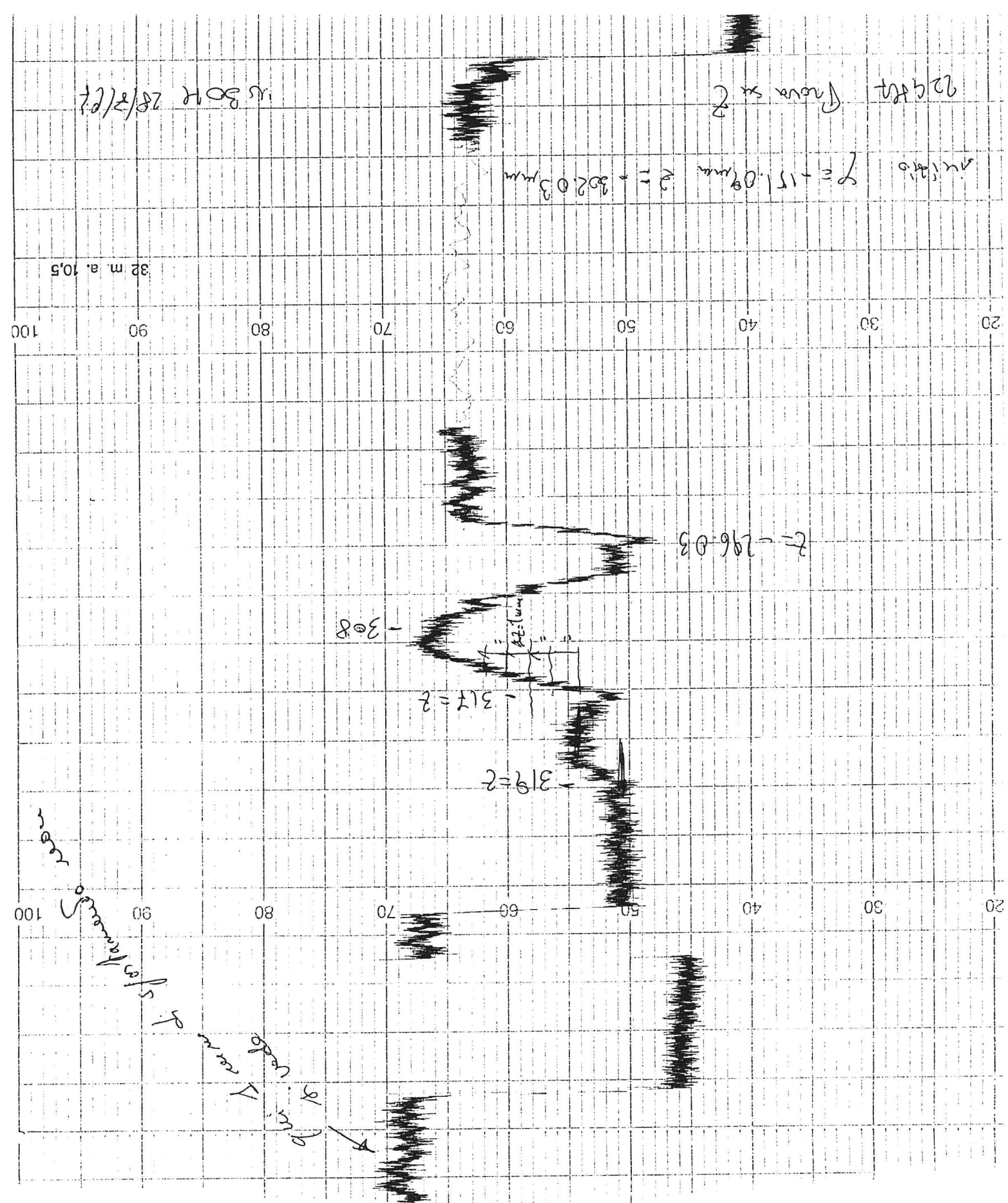


Fig. 3

1. Hyperboloid Rotation

$$\theta_R = K_1 \tan^{-1} \frac{f}{F} \frac{2\beta}{M+1}$$

2. Hyperboloid Translation

$$\theta_T = -k_2 \tan^{-1} \frac{h}{F} \frac{M-1}{M}$$

3. Feed Translation

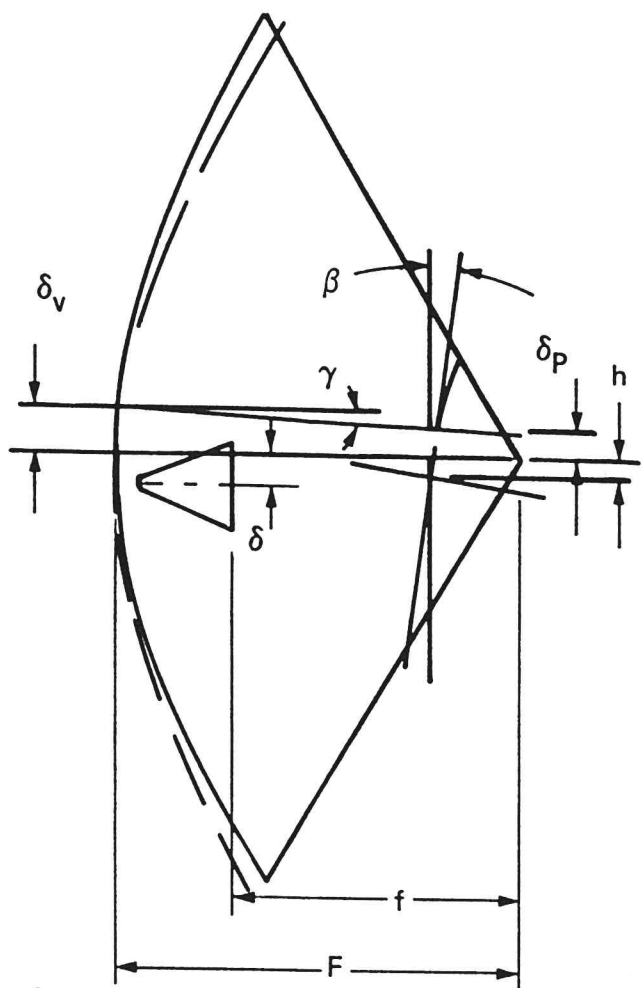
$$\theta_F = k_3 \tan^{-1} \frac{\delta}{MF}$$

4. Paraboloid Rotation

$$\theta_p = K\gamma$$

5. Paraboloid Translation  
(Vertex Shift)

$$\theta_s = K \tan^{-1} \frac{\delta_v}{F}$$



$\theta$	= Beam Pointing Error
F	= Paraboloid Focal Point
f	= Hyperboloid Focal Point
M	= Magnification Factor
$\beta$	= Hyperboloid Rotation
h	= Hyperboloid Translation
$\delta$	= Feed Translation
K	= Beam Deviation Factor (Paraboloid)
$\gamma$	= Paraboloid Angular Deviation
$\gamma_v$	= Best Fit Paraboloid Vertex Translation
$\gamma_p$	= Best Fit Paraboloid Focal Point Shift
$k_1$	= Beam Deviation Factor (Hyperboloid Rotation)
$k_2$	= Beam Deviation Factor (Hyperboloid Translation)
$k_3$	= Beam Deviation Factor (Feed Translation)

Fig. 4

Meccanica di movimento

subriflettore

4 / Settembre / 97

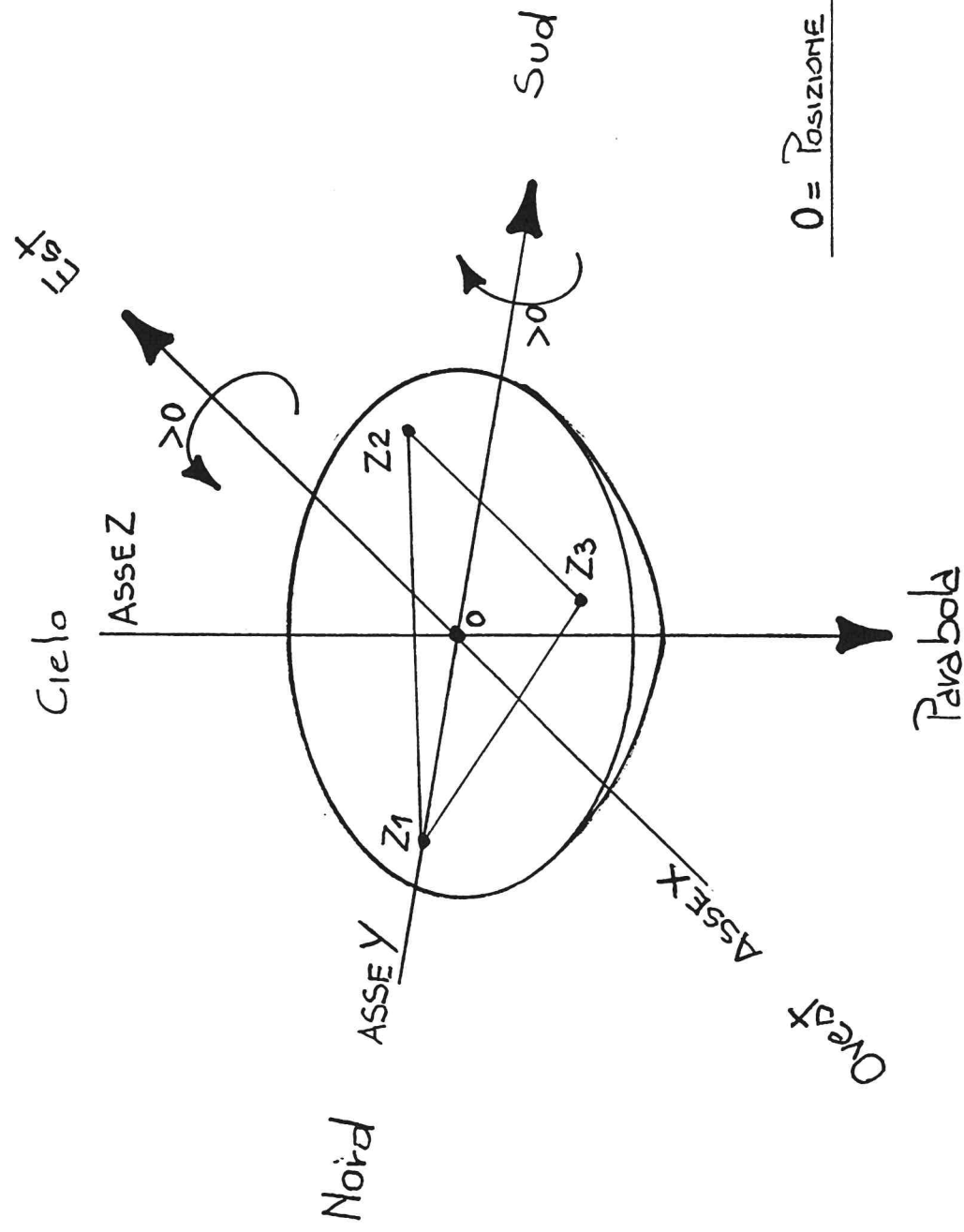


Fig. 5

Convenzione verso di movimento

### 3. MOVIMENTI DELLO SPECCHIO SECONDARIO

Il ricevitore usato e` il 5GHz montato nel fuoco secondario della parabola. Qui sono possibili diversi spostamenti, traslazione lungo X e lungo Y, rotazione attorno asse X e rotazione attorno asse Y, composizione delle rotazioni con o senza traslazioni. Le espressioni matematiche dei vari movimenti e la geometria Cassegrain d'antenna sono mostrati in fig. 4, mentre la geometria e le quote del triangolo di movimentazione subriflettore per quanto riguarda gli attuatori Z sono mostrati in fig. 2. Le sorgenti utilizzate, perche` visibili in quel momento, sono state VirgoA e 3C84. Le posizioni di riferimento sono quelle ottenute all'allineamento effettuato all'atto della installazione che sono considerate a zero; per un eventuale confronto futuro si riportano i valori in step assoluti dei cinque assi,  $x=176930\text{step}$   $y=638979\text{step}$   $z1=-289281\text{step}$   $z2=-267081\text{step}$   $z3=-276881\text{step}$ .

Prima di iniziare conviene ribadire le convenzioni sugli spostamenti. A tal proposito si sono fissate le convenzioni sulle traslazioni e rotazioni del subriflettore (fig. 5), si immagini l'antenna in stow position: traslazione lungo Y positiva se verso Sud, lungo X positiva se verso Est, lungo Z positiva se verso lo specchio primario. Rotazione attorno asse X positiva se il subriflettore "guarda" verso Sud, lungo Y positiva se "guarda" verso Ovest.

Per quanto riguarda gli offset della antenna: se  $dAz$  risulta positivo significa che l'Azimuth trovato del picco della gaussiana e` maggiore di quello aspettato e perciò l'antenna si e` mossa verso Ovest; se  $dEl$  risulta positivo significa che l'elevazione trovata e` maggiore di quella aspettata perciò l'antenna si e` mossa verso Nord.

#### 3.1 TRASLAZIONE LUNGO L'ASSE Y

Sorgente usata VirgoA.

Dati acquisiti:	posizione Y (mm)	Az (°)	El (°)	$dAz$ (°)	$dEl$ (°)
RIFERIMENTO---->	0.0	149.9	54.6	-0.04766	-0.01956
	30.0	156.1	55.9	-0.04745	-0.12549
	45.0	159.1	56.3	-0.04595	-0.17947
	-30.0	162.2	56.8	-0.05151	+0.09585
	-45.0	168.1	57.3	-0.05301	+0.15243

Dati calcolati:	$\Delta Y$ (mm)	$\Delta dEl = \Delta P$ (°)	$\Delta P / \Delta Y$ (°/mm)	$dAz * \cos(el)$ (°)
	+30	-0.10593	-0.0035	-0.0266
	-30	+0.11541	-0.0038	-0.0282
	+45	-0.15991	-0.0036	-0.0254
	-45	+0.1719	-0.0038	-0.0286

Così come deve essere, muovere l'asse Y deve determinare variazioni di puntamento solo in elevazione e non nella coordinata incrociata. Tutti i termini  $dAz * \cos(el)$  sono simili entro qualche

millesimo di grado. Si noti che se si trasla il subriflettore verso sud il beam si sposta a nord, per questo l'antenna lo recupera muovendosi verso Sud.

se  $\Delta Y > 0$  l'attuatore si sposta verso Sud

se  $\Delta P > 0$  l'antenna va verso Nord

a) La media dei coefficienti e`

$$(6) \quad \langle \Delta P / \Delta Y \rangle = -0.0037 \pm 0.0001 \text{ } ^\circ/\text{mm}$$

ove con  $\Delta P$  si intende la deviazione d'angolo di puntamento.

Da [5] pag. 168, applicata a questo tipo di spostamento (riportata in fig. 4), si ha che

$$(7) \quad \Delta P = -BDF * \operatorname{arctg}((\Delta Y/F) * (M-1)/M)$$

Da qui si puo` ricavare, visto che  $\Delta P / \Delta Y$  e` noto dalle misure, che per l'antenna di Medicina

$$(8) \quad BDF = 0.741$$

Secondo quanto detto dopo la (4) tale valore deve essere inferiore a quello relativo all'analogico movimento del ricevitore primario in quanto il taper del 5GHz e` 10dB. Allo stesso modo si desume

$$(9) \quad k_{5\text{GHz}} = 0.315$$

### 3.2 TRASLAZIONE LUNGO L'ASSE X

Sorgente usata VirgoA.

Dati acquisiti:	posizione X (mm)	Az ( $^\circ$ )	El ( $^\circ$ )	$dAz$ ( $^\circ$ )	$dEl$ ( $^\circ$ )
RIFERIMENTO---->	0.0	172.1	57.7	-0.05130	-0.01099
	-30.0	178.3	57.9	+0.15614	-0.00642
	-45.0	184.8	57.8	+0.25996	-0.00340
	30.0	190.7	57.5	-0.26285	-0.00144
	45.0	193.7	57.2	-0.35859	-0.00350
RIFERIMENTO---->	0.0	197.7	56.8	-0.05055	-0.00043

Dati calcolati:	$\Delta X$ (mm)	$\Delta dAz$ ( $^\circ$ )	$\Delta dAz * \cos(\text{el}) = \Delta P$ ( $^\circ/\text{mm}$ )	$\Delta P / \Delta X$ ( $^\circ/\text{mm}$ )
	+30	-0.2115	-0.114	-0.0038
	-30	+0.2074	+0.110	-0.0037

+45	-0.3073	-0.166	-0.0037
-45	+0.3113	+0.166	-0.0037

Qui l'angolo di deviazione e` in Az e, contrariamente a quanto ci si puo` aspettare, sussiste anche una variazione nella coordinata incrociata, elevazione in questo caso, che e` dell'ordine di diversi millesimi di grado. Ripetendo la misura nella posizione di riferimento in chiusura del test risulta molto diverso il valore di dEl rispetto all'inizio il che parrebbe indicare una forte dispersione del modello di puntamento in quella zona di cielo. Si noti che se si trasla il subriflettore verso est il beam ruota verso ovest.

se  $\Delta X > 0$  l'attuatore si sposta verso Est

se  $\Delta P > 0$  l'antenna punta verso Ovest

a) La media dei coefficienti e`

$$(10) \quad \langle \Delta P / \Delta X \rangle = -0.0037 \pm 0^{\circ}/mm$$

ove con  $\Delta P$  si intende la deviazione d'angolo di puntamento in cielo, cioe` corretta per  $\cos(\text{el})$ .

Valgono gli stessi conti fatti nella traslazione Y, con anche gli stessi risultati. Cioe` e` quanto aspettarsi visto che l'antenna ha simmetria circolare. Cioe` si conferma che

$BDF=0.741$

$k_{5GHz}=0.315$

### 3.3 ROTAZIONE ATTORNO ALL'ASSE Y

Qui le rotazioni vengono ottenute semplicemente tenendo fermo nella posizione di riferimento l'asse Z1 e muovendo Z2 e Z3 della stessa quantita` ma in direzioni opposte. Sorgente usata 3C84.

Dati acquisiti:	rotazione $\delta_y$ ( $^{\circ}$ )	Az ( $^{\circ}$ )	El ( $^{\circ}$ )	dAz ( $^{\circ}$ )	dEl ( $^{\circ}$ )
RIFERIMENTO---->	0.0	271.3	69.5	-0.01848	0.02703
	-0.553	273.7	66.8	-0.18682	0.02657
	-1.11	276.5	63.3	-0.31576	0.02441
	-1.66	277.5	61.9	-0.44464	0.02473
	-2.22	278.7	60.3	-0.55913	0.02441
	-2.77	281.0	57.0	-0.63319	0.02471
RIFERIMENTO---->	0.0	282.1	55.5	-0.01227	0.02188
	+0.553	283.4	53.7	+0.10433	0.02134
	+1.11	284.5	52.0	+0.20900	0.02070

+1.66	286.0	49.8	+0.30471	0.02026
+2.22	287.3	47.9	+0.39436	0.02182
+2.77	288.5	46.2	+0.47805	0.02098
+3.32	289.7	44.5	+0.55862	0.02093
RIFERIMENTO----> 0.0	291.1	42.5	-0.01000	0.01625

Dati calcolati:	$\Delta \theta_y$ (°)	$\Delta dAz * \cos(el) = \Delta P$ (°)	$\Delta P / \Delta \theta_y$
	-0.553	-0.066	0.119
	+0.553	+0.069	0.125
	-1.11	-0.134	0.121
	+1.11	+0.136	0.122
	-1.66	-0.201	0.121
	+1.66	+0.205	0.123
	-2.22	-0.268	0.121
	+2.22	+0.273	0.123
	-2.77	-0.335	0.121
	+2.77	+0.339	0.122
	+3.32	+0.419	0.126

se  $\Delta \theta_y > 0$  il subriflettore ruota verso Ovest

se  $\Delta P > 0$  l'antenna punta verso Ovest

a) La media dei coefficienti è

$$(11) \quad \langle \Delta P / \Delta \theta_y \rangle = 0.122 \pm 0.002$$

Questa rotazione del subriflettore determina una variazione di puntamento solo in azimuth, con conseguente rotazione dell'angolo di puntamento in cielo. Le leggere variazioni dell'errore in elevazione sono da addebitarsi al modello di puntamento che ovviamente impone correzioni diverse a diverse posizioni della antenna. Si noti che se il subriflettore ruota verso ovest il beam ruota verso est.

b) Dalla fig. 4 l'espressione della rotazione del subriflettore è

$$(12) \quad \Delta P = BDF * \operatorname{arctg}((f/F) * (2\Delta \theta_y / (M+1)))$$

da cui è possibile ricavare il BDF per la rotazione

$$(13) \quad BDF = 0.654$$

### 3.4 ROTAZIONE ATTORNO ALL'ASSE X

*Qui le rotazioni vengono ottenute muovendo l'asse Z1 in una direzione e Z2,Z3 nella direzione opposta. Essendo i bracci di rotazione diversi, il braccio di Z1 doppio di quello di Z2,Z3, l'entita` di spostamento di Z1 sara` doppia della coppia Z2,Z3. Sorgente usata Virgoa.*

Dati acquisiti:	rotazione $\vartheta_x$ (°)	Az (°)	El (°)	dAz (°)	dEl (°)
RIFERIMENTO---->	0.0	126.8	46.5	-0.02975	-0.02959
	-0.553	135.5	50.3	-0.03543	+0.04341
	-1.11	141.3	52.3	-0.03732	+0.11001
	-1.66	143.4	52.9	-0.04105	+0.18086
	-2.22	145.8	53.6	-0.04479	+0.25010
	-2.77	148.1	54.2	-0.04524	+0.31685
	-3.32	150.5	54.8	-0.04433	+0.38385
	-3.87	152.8	55.3	-0.04738	+0.45195
RIFERIMENTO---->	0.0	157.1	56.0	-0.04282	-0.01850
	+0.553	159.8	56.5	-0.04125	-0.08529
	+1.11	162.1	56.8	-0.04390	-0.15448
	+1.66	165.0	57.1	-0.04467	-0.22445
	+2.22	167.3	57.3	-0.04336	-0.28953
	+2.77	171.9	57.7	-0.04204	-0.35758
	+3.32	175.2	57.8	-0.04341	-0.42587
Dati calcolati:	$\Delta\vartheta_x$ (°)	$\Delta dEl = \Delta P$ (°)	$\Delta P/\Delta\vartheta_x$	$\Delta dAz * \cos(El)$ (°)	
	+0.553	-0.067	-0.121	-0.023	
	-0.553	+0.073	-0.132	-0.023	
	+1.11	-0.136	-0.122	-0.024	
	-1.11	+0.140	-0.126	-0.023	
	+1.66	-0.206	-0.124	-0.024	
	-1.66	+0.210	-0.126	-0.025	
	+2.22	-0.271	-0.122	-0.023	
	-2.22	+0.280	-0.126	-0.027	
	+2.77	-0.339	-0.122	-0.022	
	-2.77	+0.346	-0.125	-0.026	
	+3.32	-0.407	-0.122	-0.023	
	-3.32	+0.413	-0.124	-0.026	
	-3.87	+0.481	-0.124	-0.027	

se  $\Delta\vartheta_x > 0$  il subriflettore ruota verso Sud

se  $\Delta P > 0$  l'antenna punta verso Nord

a) La media dei coefficienti e`

(14)

$$\langle \Delta P / \Delta \vartheta_x \rangle = -0.124 \pm 0.003$$

*Questa rotazione del subriflettore determina una variazione di puntamento solo in elevazione, con conseguente rotazione dell'angolo di puntamento in cielo. Le leggere variazioni dell'errore in azimuth sono da addebitarsi alla dispersione del modello di puntamento. Non c'e` motivo per cui i coefficienti delle due rotazioni siano diversi data la simmetria circolare della antenna, la leggera differenza e` da imputarsi alla dispersione delle misure; naturalmente il segno - deriva dalla convenzione senso di rotazione subriflettore  $\leftrightarrow$  rotazione del puntamento. Ovviamente anche BDF e` lo stesso. Si noti che se si ruota verso sud il beam ruota verso nord.*

#### **4. SENSIBILITA` ALL'ERRORE DI PUNTAMENTO E PRECISIONE DELLA MECCANICA**

*Una volta trovati tutti i coefficienti di spostamento si puo` ora ragionare su quale e` la sensibilita` della antenna per indesiderate fluttuazioni di posizione degli assi meccanici e quindi anche verificare se i valori trovati sono compatibili con la classe di precisione del progetto meccanico. Riassumiamo allora quanto trovato*

- Sensibilita` alla traslazione del ricevitore primario	15.8 arcsec/mm
- Sensibilita` alla traslazione del subriflettore (indifferentemente lungo X o Y)	13.3 arcsec/mm
- Sensibilita` alla rotazione del subriflettore intorno asse X	43.2 arcsec/mm riferita alla corsa Z2,Z3
- Sensibilita` alla rotazione del subriflettore intorno asse Y	24.3 arcsec/mm

*la sensibilita` alle rotazioni e` calcolata dividendo l'angolo  $0.553^{\circ}$  per l'escursione degli attuatori necessaria (5.76mm per Z2,Z3 nel primo caso e 10mm nel secondo) e moltiplicando per il coefficiente  $\langle \Delta P / \Delta \vartheta_x \rangle$  (o  $\langle \Delta P / \Delta \vartheta_y \rangle$ ).*

*Da questi numeri si evince che se si vuole contenere entro 1 arcsec il mantenimento della posizione la precisione meccanica del sistema di movimentazione deve essere di 0.06mm per le traslazioni e 0.02mm per le rotazioni. Questo naturalmente vale anche per la ripetibilita` di posizionamento, cioe` sistemare i vari feed dei ricevitori in fuoco primario e il subriflettore nella stessa posizione di lavoro.*

*Da misure effettuate in officina all'atto dei test del sistema l'accuratezza di posizione e la ripetibilita` risultano essere di qualche centesimo.*

## 5. USO DELLE ROTAZIONI SEMPLICI PER IL PROGETTO NUOVA VERTEX ROOM

*La naturale continuazione del progetto meccanico subriflettore consiste nel posizionare su di una circonferenza tutti i feed dei ricevitori in fuoco secondario (vertex room) al fine poi di poterli "puntare" dallo specchio secondario [1]. Oltre a questo si vuole realizzare la tecnica di "beam switching" ruotando il subriflettore, in alternativa al movimento antenna. Come si e` visto, la rotazione viene effettuata muovendo propriamente i tre attuatori Z, che peraltro spendono parte della loro corsa per orientarsi a puntare il feed montato fuori centro; la verifica che si vuole fare e` quanta extracorsa rimane disponibile per realizzare il beam switching e se la collocazione in vertex dei ricevitori puo` essere avulsa da questo vincolo o va ottimizzata in funzione della frequenza. La corsa disponibile degli attuatori Z, al netto della corsa necessaria per rifocalizzare in funzione dell'elevazione piu` il recupero imposto dallo spostamento inclinato dell'attuatore Y e`  $\pm 90$  mm.*

*A questo proposito si faccia riferimento alla fig. 6 che schematizza la circonferenza dei ricevitori in vertex (circonferenza piu` esterna), il subriflettore (circonferenza piu` interna) e il triangolo dei tre attuatori Z. La vista e` dall'alto e l'orientazione ha il Nord nella parte superiore del foglio. Si e` realizzato un sistema visivo di misura per verificare la corrispondenza tra coordinate assi subriflettore calcolate e posizione effettivamente puntata sulla circonferenza. Il sistema visivo e` costituito da un laser nel rosso montato nel foro del subriflettore, ove normalmente si colloca lo specchietto di allineamento, e da un foglio di carta posto orizzontalmente sulla superficie normalmente occupata dal goretex di copertura della vertex room, per una distanza tra centro di rotazione e foglio di 8707.1 mm (misurata con cordella metrica). I calcoli matematici prevedono un punto ogni 10 gradi sulla circonferenza-feed (che chiameremo vertex angle) e sono state considerate tre circonferenze, rispettivamente relative ad un angolo di rotazione del subriflettore di 2,3 e 4 gradi (vedi tabelle 1,2,3). I valori riportati sono considerando gli assi a zero nella posizione subriflettore allineato. Vengono effettuati spostamenti anche degli assi x ed y perche` la rotazione del subriflettore deve essere effettuata attorno al fuoco primario [6].*

*Le misure in campo sono state effettuate su ciascuna circonferenza a vertex angle di 0,30,90,180,270,300 gradi, volendo ottenere cosi` tre punti allineati per ognuno di essi.*

*La misura e` della notte del 12/8/97 e la posizione stessa dei pannelli antenna ci consentiva una verifica sufficientemente precisa che lo spot laser corrispondesse effettivamente ai sei punti cardinali puntati. Il risultato e` stato eccellente avendo una corrispondenza tra posizione calcolata e posizione puntata entro un millimetro nel caso peggiore (circonferenza piu` esterna di 4 gradi), differenza addebitabile in massima parte all'errore intrinseco del sistema di misura (ad esempio lo spot laser ha dimensioni di un paio di mm alla distanza di circa 8 m, pur essendone facilmente localizzabile il centro. Il foglio di carta non era perfettamente piano, anche per gli effetti della umidita` notturna sulla cellulosa).*

*Note quindi, e verificate, le varie posizioni dei cinque assi subriflettore si puo` ora ragionare su quanta extracorsa rimane per il beam switching in funzione della localizzazione dei feed. Nelle tabelle 4 e 5 sono riportate tali corse, che altro non sono che l'eccedenza ad arrivare ai limiti ( $\pm 90$ mm), per le circonferenze a 3 e 4 gradi. Si e` aggiunta inoltre la tabella a 4.31 gradi come circonferenza limite disponibile (tab. 6).*

*Per il posizionamento dei feed consideriamo non tutti i valori di tabella ma quelli a passi di 30 gradi. Per scegliere quali assi muovere ci facciamo condurre dalla considerazione che si vuole andare off source creando offset solo in azimuth, il che impone o rotazioni attorno all'asse Y o traslazione lungo l'asse X. Per il secondo caso, non riportato, al massimo possiamo traslare di 77 mm cioe` circa 17' di offset (cap. 4) e solo nella posizione vertex angle=90°, troppo poco per la maggioranza dei ricevitori volendo un off di almeno 5 beam. Non resta che la rotazione attorno a Y che, come sappiamo, si effettua muovendo di medesime quantita` la coppia di attuatori Z2,Z3 ma in*

*direzioni opposte. L'analisi delle extracorse porge le coppie di valori riportate in grassetto alla colonna BEAM SWITCHING ANGLE.*

*Innanzitutto lo spostamento puo` essere fatto verso ovest o verso est, intendendosi che se l'antenna fosse in stow position il fascio punterebbe verso quella direzione; sussistono quindi due colonne di beam switching, in generale con angoli di off source diversi. Si notera` che tali angoli sono identici solo nelle posizioni di vertex angle 0 e 180°, al di fuori di queste si hanno maggiori angoli di off ma solo in una direzione, verso ovest nel semicerchio est, verso est nel semicerchio ovest (vedi anche fig. 6). Questo comportamento non cambia cambiando circonferenza, ma solo l'entita` dell'angolo consentito. Ad esempio, facendo riferimento alla circonferenza a 4 gradi (tab. 5), si hanno circa 20', disponibili da entrambi i lati a vertex angle=0,180°, il che e` compatibile con un ricevitore con al massimo 4' di beam ( $f \geq 11\text{GHz}$ ); il massimo di angolo off lo si ha per vertex angle=90,270° il che porge per feed di frequenza piu' bassa (intorno ai 7' di beam).*

*Da queste prime considerazioni e` evidente come la collocazione dei vari feed nel cerchio della vertex vada attentamente ragionata.*

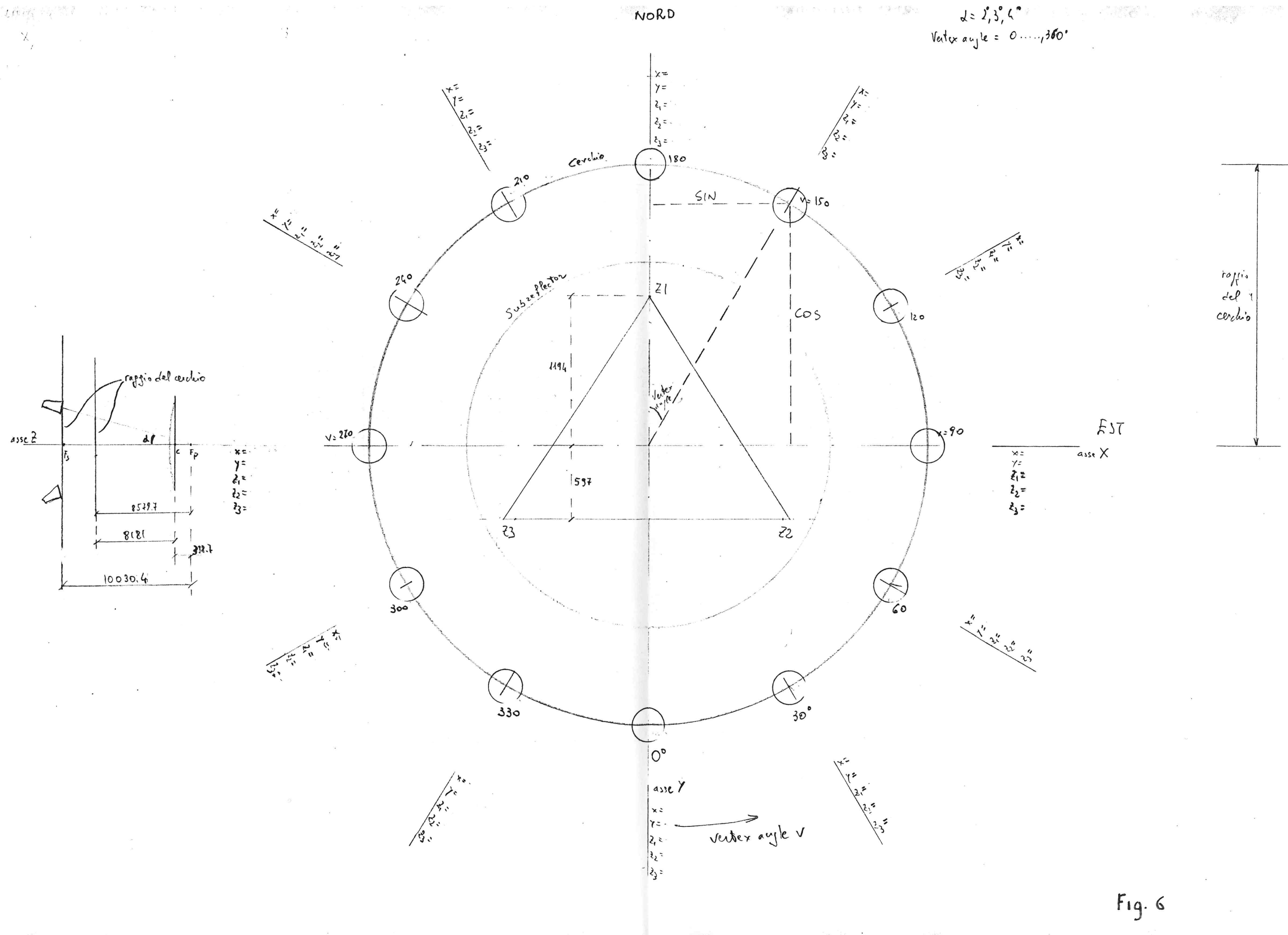


Fig. 6

					CERCHIO DI GRADI	2													
2	0.03491																		
Vertice	Vertex	SIN	COS	RotX(gr.)	RotX(rad.)	Z1	Z2	Z3	RotY(gr.)	RotY(rad.)	Z1	Z2	Z3	Z1	Z2	Z3	X	Y	
angle(gr.)	angle(rad.)																		
0	0.00	0.00	350.27	2.000	0.035	41.69	-20.84	-20.84	0.000	0.000	0.00	0.00	0.00	41.69	-20.84	-20.84	0.00	18.97	
10	0.17	0.98	344.95	1.970	0.034	41.06	-20.53	-20.53	0.347	0.006	0.00	-6.27	6.27	41.06	-26.80	-14.26	3.29	18.68	
20	0.35	0.94	329.15	1.879	0.033	39.17	-19.59	-19.59	0.684	0.012	0.00	-12.35	12.35	39.17	-31.94	-7.24	6.49	17.83	
30	0.52	0.88	303.34	1.732	0.030	36.10	-18.05	-18.05	1.000	0.017	0.00	-18.05	18.05	36.10	-36.10	0.00	9.49	16.43	
40	0.70	0.81	225.15	2.6832	1.532	0.027	31.94	-15.97	1.286	0.022	0.00	-23.21	23.21	31.94	-39.17	7.24	12.19	14.53	
50	0.87	0.73	225.15	1.286	0.022	26.80	-13.40	-13.40	1.532	0.027	0.00	-27.66	27.66	26.80	-41.06	14.26	14.53	12.19	
60	1.05	0.64	303.34	1.7513	1.000	0.017	20.84	-10.42	-10.42	1.732	0.030	0.00	-31.27	31.27	20.84	-41.69	20.84	16.43	9.49
70	1.22	0.54	329.15	1.1980	0.684	0.012	14.26	-7.13	-7.13	1.879	0.033	0.00	-33.93	33.93	14.26	-41.06	26.80	17.83	6.49
80	1.40	0.43	344.95	60.82	0.347	0.006	7.24	-3.62	-3.62	1.970	0.034	0.00	-35.55	35.55	7.24	-39.17	31.94	18.68	3.29
90	1.57	0.30	350.27	0.000	0.000	0.00	0.00	0.00	2.000	0.035	0.00	-36.10	36.10	0.00	-36.10	36.10	18.97	0.00	
100	1.75	0.17	344.95	-60.82	-0.347	-0.006	-7.24	3.62	3.62	1.970	0.034	0.00	-35.55	35.55	-7.24	-31.94	39.17	18.68	-3.29
110	1.92	0.00	329.15	-119.80	-0.684	-0.012	-14.26	7.13	7.13	1.879	0.033	0.00	-33.93	33.93	-14.26	-26.80	41.06	17.83	-6.49
120	2.09	-0.17	303.34	-175.13	-1.000	-0.017	-20.84	10.42	10.42	1.732	0.030	0.00	-31.27	31.27	-20.84	-20.84	41.69	16.43	-9.49
130	2.27	-0.35	268.32	-225.15	-1.286	-0.022	-26.80	13.40	13.40	1.532	0.027	0.00	-27.66	27.66	-26.80	-14.26	41.06	14.53	-12.19
140	2.44	-0.52	225.15	-268.32	-1.532	-0.027	-31.94	15.97	15.97	1.286	0.022	0.00	-23.21	23.21	-31.94	-7.24	39.17	12.19	-14.53
150	2.62	-0.67	175.13	-303.34	-1.732	-0.030	-36.10	18.05	18.05	1.000	0.017	0.00	-18.05	18.05	-36.10	0.00	36.10	9.49	-16.43
160	2.79	-0.81	119.80	-329.15	-1.879	-0.033	-39.17	19.59	19.59	0.684	0.012	0.00	-12.35	12.35	-39.17	7.24	31.94	6.49	-17.83
170	2.97	-0.94	60.82	-344.95	-1.970	-0.034	-41.06	20.53	20.53	0.347	0.006	0.00	-6.27	6.27	-41.06	14.26	26.80	3.29	-18.68
180	3.14	0.00	-350.27	-2.000	-0.035	-41.69	20.84	20.84	0.000	0.000	0.00	0.00	0.00	-41.69	20.84	20.84	0.00	-18.97	
190	3.32	-0.60	-60.82	-344.95	-1.970	-0.034	-41.06	20.53	20.53	-0.347	-0.006	0.00	6.27	-6.27	-41.06	26.80	14.26	-3.29	-18.68
200	3.49	-1.19	-329.15	-1.879	-0.033	-39.17	19.59	19.59	-0.684	-0.012	0.00	12.35	-12.35	-39.17	31.94	7.24	-6.49	-17.83	
210	3.67	-1.75	-175.13	-303.34	-1.732	-0.030	-36.10	18.05	18.05	-1.000	-0.017	0.00	18.05	-18.05	-36.10	0.00	-9.49	-16.43	
220	3.84	-2.25	-225.15	-268.32	-1.532	-0.027	-31.94	15.97	15.97	-1.286	-0.022	0.00	23.21	-23.21	-31.94	39.17	-7.24	-12.19	-14.53
230	4.01	-2.68	-268.32	-225.15	-1.286	-0.022	-26.80	13.40	13.40	-1.532	-0.027	0.00	27.66	-27.66	-26.80	41.06	-14.26	-14.53	-12.19
240	4.19	-3.03	-175.13	-303.34	-1.732	-0.017	-20.84	10.42	10.42	-1.732	-0.030	0.00	31.27	-31.27	-20.84	41.69	-16.43	-9.49	
250	4.36	-3.29	-119.80	-329.15	-1.879	-0.012	-14.26	7.13	7.13	-1.879	-0.033	0.00	33.93	-33.93	-14.26	41.06	-26.80	-17.83	-6.49
260	4.54	-3.44	-60.82	-344.95	-1.970	-0.006	-7.24	3.62	3.62	-1.970	-0.034	0.00	35.55	-35.55	-7.24	39.17	-31.94	-18.68	-3.29
270	4.71	-3.50	-0.00	-350.27	0.000	0.000	0.00	0.00	0.00	-2.000	-0.035	0.00	36.10	-36.10	-36.10	-18.97	0.00	0.00	
280	4.89	-3.44	-60.82	-0.347	0.006	7.24	-3.62	-3.62	-1.970	-0.034	0.00	35.55	-35.55	7.24	31.94	-39.17	-18.68	3.29	
290	5.06	-3.29	-119.80	0.684	0.012	14.26	-7.13	-7.13	-1.879	-0.033	0.00	33.93	-33.93	14.26	26.80	-41.06	-17.83	6.49	
300	5.24	-3.03	-175.13	1.000	0.017	20.84	-10.42	-10.42	-1.732	-0.030	0.00	31.27	-31.27	20.84	-41.69	-16.43	9.49		
310	5.41	-2.68	-225.15	2.286	0.022	26.80	-13.40	-13.40	-1.532	-0.027	0.00	27.66	-27.66	26.80	-41.06	-14.53	12.19		
320	5.59	-2.25	-268.32	1.532	0.027	31.94	-15.97	-15.97	-1.286	-0.022	0.00	23.21	-23.21	31.94	7.24	-39.17	-12.19	14.53	
330	5.76	-1.75	-175.13	303.34	1.732	0.030	36.10	-18.05	-18.05	-1.000	-0.017	0.00	18.05	-18.05	36.10	0.00	-36.10	-9.49	16.43
340	5.93	-1.19	-29.15	329.15	1.879	0.033	39.17	-19.59	-19.59	-0.684	-0.012	0.00	12.35	-12.35	39.17	-7.24	-31.94	-6.49	17.83
350	6.11	-0.60	344.95	1.970	0.034	41.06	-20.53	-20.53	-0.347	-0.006	0.00	6.27	-6.27	41.06	-14.26	-26.80	-3.29	18.68	

TAB. 2

TAB.  
3

4	0.06981				CERCCHIO DI GRADI 4												
Vertex	Vertex	angle(gr.)	angle(rad.)	SIN	COS	RotX(gr.)	RotX(rad.)	Z1	Z2	Z3	RotY(gr.)	RotY(rad.)	Z1	Z2	Z3	Escursione complessiva assi subriflettore (mm)	
																X	Y
0	0.00	0.00	0.00	701.39	4.0000	0.070	83.48	-41.74	-41.74	0.000	0.000	0.00	0.00	0.00	18.977		
10	0.17	121.80	690.74	3.939	0.069	82.21	-41.11	-41.11	0.696	0.012	0.00	-12.55	82.21	-53.66	-28.55	3.29	
20	0.35	239.89	659.09	3.759	0.066	78.44	-39.22	-39.22	1.370	0.024	0.00	-24.73	78.44	-63.95	-14.50	6.49	
30	0.52	350.70	607.42	3.466	0.060	72.29	-36.15	-36.15	2.002	0.035	0.00	-36.15	36.15	72.29	-72.29	0.00	
40	0.70	450.85	537.30	3.066	0.054	63.95	-31.97	-31.97	2.574	0.045	0.00	-46.47	46.47	63.95	-78.44	14.50	
50	0.87	537.30	450.85	2.574	0.045	53.66	-26.83	-26.83	3.066	0.054	0.00	-55.38	55.38	53.66	-82.21	28.55	
60	1.05	607.42	350.70	2.002	0.035	41.74	-20.87	-20.87	3.466	0.060	0.00	-62.61	62.61	41.74	-83.48	41.74	
70	1.22	659.09	239.89	1.370	0.024	28.55	-14.28	-14.28	3.759	0.066	0.00	-67.93	67.93	28.55	-82.21	53.66	
80	1.40	690.74	121.80	0.696	0.012	14.50	-7.25	-7.25	3.939	0.069	0.00	-71.20	71.20	14.50	-78.44	63.95	
90	1.57	701.39	0.00	0.000	0.00	0.00	0.00	0.00	4.0000	0.070	0.00	-72.29	72.29	0.00	-72.29	18.97	
100	1.75	690.74	-121.80	-0.696	-0.012	-14.50	7.25	7.25	3.939	0.069	0.00	-71.20	71.20	-14.50	-63.95	78.44	
110	1.92	659.09	-239.89	-1.370	-0.024	-28.55	14.28	14.28	3.759	0.066	0.00	-67.93	67.93	-28.55	-53.66	82.21	
120	2.09	607.42	-350.70	-2.002	-0.035	-41.74	20.87	20.87	3.466	0.060	0.00	-62.61	62.61	-41.74	-41.74	83.48	
130	2.27	537.30	-450.85	-2.574	-0.045	-53.66	26.83	26.83	3.066	0.054	0.00	-55.38	55.38	-53.66	-28.55	82.21	
140	2.44	450.85	-537.30	-3.066	-0.054	-63.95	31.97	31.97	2.574	0.045	0.00	-46.47	46.47	-63.95	-14.50	78.44	
150	2.62	350.70	-607.42	-3.466	-0.060	-72.29	36.15	36.15	2.002	0.035	0.00	-36.15	36.15	-72.29	0.00	72.29	
160	2.79	239.89	-659.09	-3.759	-0.066	-78.44	39.22	39.22	3.370	0.024	0.00	-24.73	24.73	-78.44	14.50	63.95	
170	2.97	121.80	-690.74	-3.939	-0.069	-82.21	41.11	41.11	0.696	0.012	0.00	-12.55	12.55	-82.21	28.55	53.66	
180	3.14	0.00	-701.39	-4.000	-0.070	-83.48	41.74	41.74	0.000	0.00	0.00	0.00	0.00	-83.48	41.74	0.00	
190	3.32	-121.80	-690.74	-3.939	-0.069	-82.21	41.11	41.11	-0.696	-0.012	0.00	12.55	-12.55	-82.21	53.66	28.55	
200	3.49	-239.89	-659.09	-3.759	-0.066	-78.44	39.22	39.22	-1.370	-0.024	0.00	24.73	-24.73	-78.44	63.95	14.50	
210	3.67	-350.70	-607.42	-3.466	-0.060	-72.29	36.15	36.15	-2.002	-0.035	0.00	36.15	-36.15	-72.29	0.00	-9.49	
220	3.84	-450.85	-537.30	-3.066	-0.054	-63.95	31.97	31.97	-2.574	-0.045	0.00	46.47	-46.47	-63.95	78.44	-14.50	
230	4.01	-537.30	-450.85	-2.574	-0.045	-53.66	26.83	26.83	-3.066	-0.054	0.00	-55.38	-55.38	-53.66	82.21	-14.53	
240	4.19	-607.42	-350.70	-2.002	-0.035	-41.74	20.87	20.87	-3.466	-0.060	0.00	62.61	-62.61	-41.74	83.48	-16.43	
250	4.36	-659.09	-239.89	-1.370	-0.024	-28.55	14.28	14.28	-3.759	-0.066	0.00	67.93	-67.93	-28.55	82.21	-53.66	
260	4.54	-690.74	-121.80	-0.696	-0.012	-14.50	7.25	7.25	-3.939	-0.069	0.00	71.20	-71.20	-14.50	78.44	-63.95	
270	4.71	-701.39	0.00	0.000	0.00	0.00	0.00	0.00	-4.000	-0.070	0.00	72.29	-72.29	0.00	-72.29	-18.97	
280	4.89	-690.74	121.80	0.696	0.012	14.50	-7.25	-7.25	-3.939	-0.069	0.00	71.20	-71.20	14.50	63.95	-78.44	
290	5.06	-659.09	239.89	1.370	0.024	28.55	-14.28	-14.28	-3.759	-0.066	0.00	67.93	-67.93	28.55	53.66	-82.21	
300	5.24	-607.42	350.70	2.002	0.035	41.74	-20.87	-20.87	-3.466	-0.060	0.00	62.61	-62.61	41.74	83.48	-16.43	
310	5.41	-537.30	450.85	2.574	0.045	53.66	-26.83	-26.83	-3.066	-0.054	0.00	55.38	-55.38	53.66	28.55	-82.21	
320	5.59	-450.85	537.30	3.066	0.054	63.95	-31.97	-31.97	-2.574	-0.045	0.00	46.47	-46.47	63.95	-78.44	-12.19	
330	5.76	-350.70	607.42	3.466	0.060	72.29	-36.15	-36.15	-2.002	-0.035	0.00	36.15	-36.15	72.29	0.00	-9.49	
340	5.93	-239.89	659.09	3.759	0.066	78.44	-39.22	-39.22	-1.370	-0.024	0.00	24.73	-24.73	78.44	-14.50	-63.95	
350	6.11	-121.80	690.74	3.939	0.069	82.21	-41.11	-41.11	-0.696	-0.012	0.00	12.55	-12.55	82.21	-28.55	-53.66	

					RICEVITORI OFFSET DI 3 GRADI							
Z1 sw limit		Z2 sw limit		Z3 sw limit								
Basso	Alto	Basso	Alto	Basso	Alto							
CORSE DISPONIBILI PER BEAM SWITCHING												
					Vertex	INC. DI POSIZIONE	WEST	POS.FINALE	POS.FINALE	EAST	POS.FINALE	POS.FINALE
					angle(gr.)	(mm)	BEAM SW.	Z2	Z3	BEAM SW.	Z2	Z3
27.44	-152.56	121.28	-58.72	121.28	-58.72	0	58.72	23.79	27.44	-58.72	-23.79	27.44
28.39	-151.61	130.22	-49.78	111.40	-68.60	10	68.60	27.79	28.39	-90.00	-90.00	28.39
31.21	-148.79	137.93	-42.07	100.86	-79.14	20	79.14	32.04	31.21	-90.00	-42.07	-17.06
35.82	-144.18	144.18	-35.82	90.00	-90.00	30	90.00	36.42	35.82	-90.00	-35.82	-14.52
42.07	-137.93	148.79	-31.21	79.14	-100.86	40	100.86	40.79	42.07	-90.00	-31.21	-12.66
49.78	-130.22	151.61	-28.39	68.60	-111.40	50	111.40	45.02	49.78	-90.00	-28.39	-11.51
58.72	-121.28	152.56	-27.44	58.72	-121.28	60	121.28	48.98	58.72	-90.00	-27.44	-11.13
68.60	-111.40	151.61	-28.39	49.78	-130.22	70	130.22	52.52	68.60	-90.00	-28.39	-11.51
79.14	-100.86	148.79	-31.21	42.07	-137.93	80	137.93	55.62	79.14	-90.00	-31.21	-12.66
90.00	-90.00	144.18	-35.82	-144.18	90	144.18	58.11	90.00	-90.00	-35.82	-14.52	-90.00
100.86	-79.14	137.93	-42.07	31.21	100	137.93	55.62	90.00	-79.14	-31.21	-12.66	90.00
111.40	-68.60	130.22	-28.39	49.78	110	130.22	52.52	90.00	-68.60	-28.39	-11.51	-68.60
121.28	-58.72	121.28	-58.72	27.44	120	121.28	48.98	90.00	-58.72	-27.44	-11.13	-58.72
130.22	-49.78	111.40	-68.60	28.39	-151.61	130	111.40	45.02	90.00	-49.78	-28.39	-11.51
137.93	-42.07	100.86	-79.14	31.21	-148.79	140	100.86	40.79	90.00	-42.07	-31.21	-12.66
144.18	-35.82	90.00	-90.00	35.82	-144.18	150	90.00	36.42	90.00	-35.82	-14.52	-35.82
148.79	-31.21	79.14	-100.86	35.82	-142.07	160	79.14	32.04	90.00	-31.21	-42.07	-17.06
151.61	-28.39	68.60	-111.40	49.78	-130.22	170	68.60	27.79	90.00	-28.39	-49.78	-20.18
152.56	-27.44	58.72	-121.28	58.72	-121.28	180	58.72	23.79	90.00	-27.44	-58.72	-23.79
151.61	-28.39	49.78	-130.22	68.60	-111.40	190	49.78	20.18	90.00	-28.39	-68.60	-27.79
148.79	-31.21	42.07	-137.93	79.14	-100.86	200	42.07	17.06	90.00	-31.21	-42.07	-17.06
144.18	-35.82	35.82	-144.18	90.00	-90.00	210	35.82	14.52	90.00	-35.82	-36.42	-35.82
137.93	-42.07	31.21	-148.79	100.86	-79.14	220	31.21	12.66	90.00	-42.07	-40.79	-42.07
130.22	-49.78	28.39	-151.61	111.40	-68.60	230	28.39	11.51	90.00	-49.78	-111.40	-45.02
121.28	-58.72	27.44	-152.56	121.28	-58.72	240	27.44	11.13	90.00	-58.72	-121.28	-48.98
111.40	-68.60	28.39	-151.61	130.22	-49.78	250	28.39	11.51	90.00	-68.60	-130.22	-52.55
100.86	-79.14	31.21	-148.79	137.93	-42.07	260	31.21	12.66	90.00	-79.14	-137.93	-55.62
90.00	-90.00	35.82	-144.18	144.18	-35.82	270	35.82	14.52	90.00	-90.00	-144.18	-58.11
79.14	-100.86	42.07	-137.93	148.79	-31.21	280	31.21	12.66	79.14	-90.00	-137.93	-55.62
68.60	-111.40	49.78	-130.22	151.61	-28.39	290	28.39	11.51	68.60	-90.00	-130.22	-52.55
58.72	-121.28	58.72	-121.28	152.56	-27.44	300	27.44	11.13	58.72	-90.00	-121.28	-48.98
49.78	-130.22	68.60	-111.40	151.61	-28.39	310	28.39	11.51	49.78	-90.00	-111.40	-45.02
42.07	-137.93	79.14	-100.86	148.79	-31.21	320	31.21	12.66	42.07	-90.00	-100.86	-40.79
35.82	-144.18	90.00	-90.00	144.18	-35.82	330	35.82	14.52	35.82	-90.00	-90.00	-36.42
31.21	-148.79	100.86	-79.14	137.93	-42.07	340	42.07	17.06	31.21	-90.00	-79.14	-32.04
28.39	-151.61	111.40	-68.60	130.22	-49.78	350	49.78	20.18	28.39	-90.00	-68.60	-27.79

								RICEVITORI OFFSET DI 4 GRADI							
Z1 sw limit		Z2 sw limit		Z3 sw limit				WEST		POS.FINALE		EAST		POS.FINALE	
Basso	Alto	Basso	Alto	Basso	Alto			BEAM SW.	Z2	Z3	INC. DI POSIZIONE	ANGLE (')	BEAM SW.	Z2	Z3
CORSE DISPONIBILI PER BEAM SWITCHING															
								angle(gr.)	0	48.26	19.56	6.52	-48.26	-19.56	6.52
6.52	-173.48	131.74	-48.26	131.74	-48.26	118.55	-61.45	10	61.45	24.90	7.79	-90.00	-36.34	-14.74	-90.00
7.79	-172.21	143.66	-36.34	118.55	-61.45					75.50	30.57	11.56	-90.00	-26.05	-10.57
11.56	-168.44	153.95	-26.05	104.50	-75.50					90.00	36.42	17.71	-90.00	-17.71	-90.00
17.71	-162.29	162.29	-17.71	90.00	-90.00					40	104.50	42.25	-90.00	-11.56	-4.69
26.05	-153.95	168.44	-11.56	75.50	-104.50					50	118.55	47.88	-90.00	-7.79	-3.16
36.34	-143.66	172.21	-7.79	61.45	-118.55					60	131.74	53.15	-90.00	-6.52	-2.65
48.26	-131.74	173.48	-6.52	48.26	-131.74					70	143.66	57.91	-90.00	-7.79	-3.16
61.45	-118.55	172.21	-7.79	36.34	-143.66					70	143.66	61.99	-90.00	-11.56	-4.69
75.50	-104.50	168.44	-11.56	26.05	-153.95					80	153.95	61.99	-90.00	-17.71	-7.18
90.00	-90.00	162.29	-17.71	-162.29	90					90	162.29	65.30	-90.00	-17.71	-7.18
104.50	-75.50	153.95	-26.05	11.56	-168.44					100	153.95	61.99	-90.00	-7.79	-3.16
118.55	-61.45	143.66	-36.34	7.79	-172.21					110	143.66	57.91	-90.00	-61.45	-31.16
131.74	-48.26	131.74	-48.26	6.52	-173.48					120	131.74	53.15	-90.00	-48.26	-26.05
143.66	-36.34	118.55	-61.45	7.79	-172.21					130	118.55	47.88	-90.00	-36.34	-18.45
153.95	-26.05	104.50	-75.50	11.56	-168.44					140	104.50	42.25	-90.00	-26.05	-11.56
162.29	-17.71	90.00	-90.00	17.71	-162.29					150	90.00	36.42	-90.00	-17.71	-7.18
168.44	-11.56	75.50	-104.50	26.05	-153.95					160	75.50	30.57	-90.00	-11.56	-5.79
172.21	-7.79	61.45	-118.55	36.34	-143.66					170	61.45	24.90	-90.00	-7.79	-3.16
173.48	-6.52	48.26	-131.74	48.26	-131.74					180	48.26	19.56	-90.00	-6.52	-3.16
172.21	-7.79	36.34	-143.66	61.45	-118.55					190	36.34	14.74	-90.00	-7.79	-3.16
168.44	-11.56	26.05	-153.95	75.50	-104.50					200	26.05	10.57	-90.00	-11.56	-5.79
162.29	-17.71	17.71	-162.29	90.00	-90.00					210	17.71	7.18	-90.00	-17.71	-9.00
153.95	-26.05	11.56	-168.44	104.50	-75.50					220	11.56	4.69	-90.00	-26.05	-13.16
143.66	-36.34	7.79	-172.21	118.55	-61.45					230	7.79	3.16	-90.00	-36.34	-18.45
131.74	-48.26	6.52	-173.48	131.74	-48.26					240	6.52	2.65	-90.00	-48.26	-13.16
118.55	-61.45	7.79	-172.21	143.66	-36.34					250	7.79	3.16	-90.00	-61.45	-5.79
104.50	-75.50	11.56	-168.44	153.95	-26.05					260	11.56	4.69	-90.00	-153.95	-75.50
90.00	-90.00	17.71	-162.29	162.29	-17.71					270	17.71	7.18	-90.00	-162.29	-65.30
75.50	-104.50	26.05	-153.95	168.44	-11.56					280	11.56	4.69	-90.00	-153.95	-61.99
61.45	-118.55	36.34	-143.66	172.21	-7.79					290	7.79	3.16	-90.00	-143.66	-57.91
48.26	-131.74	48.26	-131.74	173.48	-6.52					300	6.52	2.65	-90.00	-131.74	-53.15
36.34	-143.66	61.45	-118.55	172.21	-7.79					310	7.79	3.16	-90.00	-118.55	-47.88
26.05	-153.95	75.50	-104.50	168.44	-11.56					320	11.56	4.69	-90.00	-104.50	-42.25
17.71	-162.29	90.00	-90.00	162.29	-17.71					330	17.71	7.18	-90.00	-90.00	-36.34
11.56	-168.44	104.50	-75.50	153.95	-26.05					340	26.05	10.57	-90.00	-75.50	-30.57
7.79	-172.21	118.55	-61.45	143.66	-36.34					350	36.34	14.74	-90.00	-61.45	-24.90

								RICEVITORI OFFSET DI GRADI 4.31							
Z1 sw	limit	Z2 sw	limit	Z3 sw	limit			WEST	POS.FINALE	POS.FINALE		EAST	POS.FINALE	POS.FINALE	
Basso	Alto	Basso	Alto	Basso	Alto			BEAM SW.	Z2	Z3		BEAM SW.	Z2	Z3	
90		-90		90		-90		INC. DI POSIZIONE		INC. DI POSIZIONE		INC. DI POSIZIONE		INC. DI POSIZIONE	
								angle(gr.)		(mm)		(mm)		(mm)	
CORSE DISPONIBILI PER BEAM SWITCHING		Vertex		INC. DI POSIZIONE		WEST		ANGLE (')		(mm)		ANGLE (')		(mm)	
0.03	-179.97	134.99	-45.01	134.99	-45.01	0	45.01	18.25	0.03	-90.00	-45.01	-18.25	-90.00	0.03	5.45
1.40	-178.60	147.83	-32.17	120.77	-59.23	10	59.23	24.00	1.40	-90.00	-32.17	-13.04	-90.00	1.40	12.08
5.45	-174.55	158.92	-21.08	105.62	-74.38	20	74.38	30.12	5.45	-90.00	-21.08	-8.55	-90.00	5.45	21.08
12.08	-167.92	167.92	-12.08	90.00	-90.00	30	90.00	36.42	12.08	-90.00	-12.08	-4.90	-90.00	12.08	32.17
21.08	-158.92	174.55	-5.45	74.38	-105.62	40	105.62	42.70	21.08	-90.00	-5.45	-2.21	-90.00	21.08	74.38
32.17	-147.83	178.60	-1.40	59.23	-120.77	50	120.77	48.77	32.17	-90.00	-1.40	-0.57	-90.00	32.17	59.23
45.01	-134.99	179.97	-0.03	45.01	-134.99	60	134.99	54.45	45.01	-90.00	-0.03	-0.01	-90.00	45.01	45.01
59.23	-120.77	178.60	-1.40	32.17	-147.83	70	147.83	59.57	59.23	-90.00	-1.40	-0.57	-90.00	59.23	59.23
74.38	-105.62	174.55	-21.08	12.08	-167.92	80	158.92	63.97	74.38	-90.00	-5.45	-2.21	-90.00	74.38	74.38
90.00	-90.00	167.92	-12.08	12.08	-167.92	90	167.92	67.53	90.00	-90.00	-12.08	-4.90	-90.00	90.00	90.00
105.62	-74.38	158.92	-21.08	5.45	-174.55	100	158.92	63.97	90.00	-74.38	-5.45	-2.21	-74.38	90.00	90.00
120.77	-59.23	147.83	-32.17	1.40	-178.60	110	147.83	59.57	90.00	-59.23	-1.40	-0.57	-59.23	90.00	90.00
134.99	-45.01	134.99	-0.03	-179.97	120	134.99	54.45	90.00	-45.01	-0.03	-0.01	-45.01	90.00	90.00	90.00
147.83	-32.17	120.77	-5.45	-59.23	140	120.77	48.77	90.00	-32.17	-1.40	-0.57	-32.17	90.00	90.00	90.00
158.92	-21.08	105.62	-74.38	5.45	-174.55	140	105.62	42.70	90.00	-21.08	-5.45	-2.21	-21.08	90.00	90.00
167.92	-12.08	90.00	-90.00	12.08	-167.92	150	90.00	36.42	90.00	-12.08	-9.00	-4.90	-12.08	90.00	90.00
174.55	-5.45	74.38	-105.62	21.08	-158.92	160	74.38	30.12	90.00	-5.45	-21.08	-8.55	-5.45	90.00	90.00
178.60	-1.40	59.23	-120.77	32.17	-147.83	170	59.23	24.00	90.00	-1.40	-32.17	-13.04	-1.40	90.00	90.00
179.97	-0.03	45.01	-134.99	45.01	-134.99	180	45.01	18.25	90.00	-0.03	-45.01	-18.25	-0.03	90.00	90.00
178.60	-1.40	32.17	-147.83	59.23	-120.77	190	32.17	13.04	90.00	-1.40	-59.23	-24.00	-1.40	90.00	90.00
174.55	-5.45	21.08	-158.92	74.38	-105.62	200	21.08	8.55	90.00	-5.45	-74.38	-30.12	-5.45	90.00	90.00
167.92	-12.08	12.08	-167.92	90.00	-90.00	210	12.08	4.90	90.00	-12.08	-90.00	-36.42	-12.08	90.00	90.00
158.92	-21.08	5.45	-174.55	105.62	-74.38	220	5.45	2.21	90.00	-21.08	-105.62	-42.70	-21.08	90.00	90.00
147.83	-32.17	1.40	-178.60	120.77	-59.23	230	1.40	0.57	90.00	-32.17	-120.77	-48.77	-32.17	90.00	90.00
134.99	-45.01	0.03	-179.97	134.99	-45.01	240	0.03	0.01	90.00	-45.01	-134.99	-54.45	-45.01	90.00	90.00
120.77	-59.23	1.40	-178.60	147.83	-32.17	250	1.40	0.57	90.00	-59.23	-147.83	-59.57	-59.23	90.00	90.00
105.62	-74.38	5.45	-174.55	158.92	-21.08	260	5.45	2.21	90.00	-74.38	-158.92	-63.97	-74.38	90.00	90.00
90.00	-90.00	12.08	-167.92	167.92	-12.08	270	12.08	4.90	90.00	-90.00	-167.92	-67.53	-90.00	90.00	90.00
74.38	-105.62	21.08	-158.92	174.55	-5.45	280	5.45	2.21	74.38	-90.00	-158.92	-63.97	-90.00	74.38	74.38
59.23	-120.77	32.17	-147.83	178.60	-1.40	290	1.40	0.57	59.23	-90.00	-147.83	-59.57	-90.00	59.23	59.23
45.01	-134.99	45.01	-134.99	179.97	-0.03	300	0.03	0.01	45.01	-90.00	-134.99	-54.45	-90.00	45.01	45.01
32.17	-147.83	59.23	-120.77	178.60	-1.40	310	1.40	0.57	32.17	-90.00	-120.77	-48.77	-90.00	32.17	32.17
21.08	-158.92	74.38	-105.62	174.55	-5.45	320	5.45	2.21	21.08	-90.00	-105.62	-42.70	-90.00	21.08	21.08
12.08	-167.92	90.00	-90.00	167.92	-12.08	330	1.40	0.57	12.08	-90.00	-90.00	-36.42	-90.00	12.08	12.08
5.45	-174.55	105.62	-74.38	-105.62	174.55	340	2.11	0.57	5.45	-90.00	-74.38	-30.12	-90.00	5.45	5.45
1.40	-178.60	120.77	-59.23	147.83	-32.17	350	3.04	1.40	-90.00	-59.23	-24.00	-90.00	1.40	1.40	1.40

## **6. RIFERIMENTI**

1. A. Orfei, G. Maccaferri, S. Mariotti, M. Morsiani, G. Zacchiroli

“Proposta operativa per un aggiornamento delle prestazioni della parabola VLBI di Medicina”

Rapporto Interno IRA 206/95

2. Field System manual, vol.1 e 2 alle voci

SNAP commands e ACP programs

3. Riportato in R. Norrod

“GBT feed/subreflector positioning coefficients”

GBT memo n. 34, February 21, 1990

4. Y.T. Lo

“On the beam deviation factor of a parabolic reflector”

IRE Transaction on antennas and propagation, vol. AP-8, pp.347-349, May 1960

5. Rudge A.W., Milne K., Olver A.D., Knight P. editors

“The handbook of antenna design, vol. 1 and 2”

Peregrinus

6. Veruttipong T., Galindo-Israel V., Imbriale W.A.

“Low loss offset feeds for electrically large symmetric dual-reflector antennas”

IEEE Transactions on Antennas and Propagation, vol. AP-35, no. 7, July 1987